

京都大学工学部 正負 工博 岡田 清  
 “ “ 工修 〇小柳 治

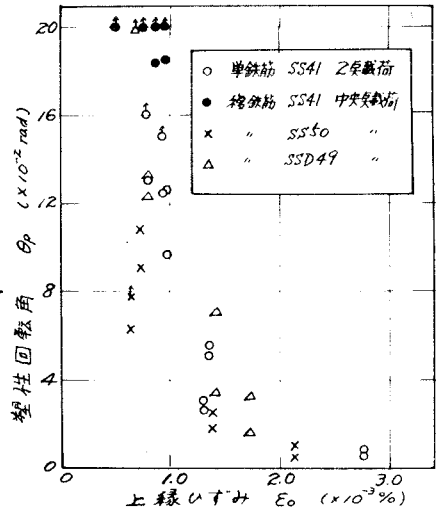
§ 1. まえがき

コンクリート部材の設計においては部材の載荷応答を非弾性範囲まで拡張しその破壊強度を基準とする塑性設計理論が次第にとり入れられつつあるが、これをさらに構造体としての破壊強度まで拡張し塑性ヒンジの生成を加味したコンクリート不静定構造の設計方法と模倣することについては未だ種々の問題兵が残つてゐる。すなわち構造体の挙動からは、限界断面の塑性曲率、塑性ヒンジの生成度、反復載荷をうけた場合の塑性ヒンジの位置は明らかでない。一方設計上からは変形限度の規定、破壊安全率（あるいは荷重係数）のセリオが問題となる。

ここにコンクリート構造にたいする塑性設計理論の適用性と検討するたためはり構造に關して行なつた一連の試験から上記の問題の中で構造体の挙動に關して得られた結論および問題兵について述べる。

試験結果は約100本の単鉄筋および複鉄筋単純はりならびに約50本の複鉄筋連続はりから求められたものであり、含めれる変量は下記のとうりである。

図-1  $\theta_p \sim \epsilon_0$  関係 (RC単純はり)



- (a) コンクリート強度 ( $\sigma_{cu} = 120 \sim 420 \text{ kg/cm}^2$ )
- (b) 鉄筋比 ( $\rho = 0.44 \sim 3.11\%$ ,  $A_s'/A_s = 0 \sim 3$ )
- (c) 鉄筋強度 (SS41, SS49, SSD49, PC鋼棒)
- (d) プレストレス導入量 (平均プレストレス力  $15 \sim 60 \text{ kg/cm}^2$ )
- (e) 載荷方法 (中央負荷, 2点負荷)

なはり断面およびスパンは  $10 \times 20 \times 220 \text{ cm}$  を標準とする。

§ 2. 塑性回転能

塑性設計によれば弾性理論で与えられる構造強度  $P_e$  よりも構造破壊強度  $P_u$  が大きくなるが、この附加的強度増加量の  $(P_u - P_e)$  は、RCまたはPCの完全弾塑性材料で用いた理論値と必ずしも一致せず、限界断面の変形能力にのみよる。限界断面の変形能力は塑性曲率あるいはその塑性ヒンジ区間にあたる種分値の塑性回転で与えられる。一般にコンクリート部材では限界断面のみをわれのみに集中するため塑性曲率による表は困難であり、塑性回転量を表す。塑性ヒンジとしては鉄筋の降伏により生ずるスチールヒンジのみを考え、コンクリートの鉄筋の降伏のみに圧着する場合は塑性回転は生じないものと仮定してよいであろう。これより塑性設計が適用し得る限界鉄筋比が定まる。すなわち単鉄筋矩形はりの場合、破壊時の中立軸比を  $m$  とすれば、この限界鉄筋比は  $m \sigma_{sy} / \sigma_{cu} < \rho < m \sigma_{cu} / \sigma_{sy}$  と表わされる。この範囲内の塑性回転能  $\theta_p$  は一般に鉄筋指数  $\rho = (\rho_s \sigma_{sy} / \sigma_{cu}) - (\rho_c \rho_s \sigma_{sy} / \sigma_{cu})$  によつてその傾向は推定される。  $\theta_p$  は  $\rho$  の増加（鉄筋比  $\rho$  の増加、鉄筋降伏強度  $\sigma_{sy}$  の増加、コンクリート強度  $\sigma_{cu}$  の減少）によつて減少する。しかしながら  $\theta_p$  は同一  $\rho$

をとっても鉄筋比，鉄筋径頂の相違により異なるため， $\sigma_p$ のばらつきを考慮しても平均のみから $\sigma_p$ を推定することは不可能である。このため $\sigma_p$ を $\sigma_p$ あるいは鉄筋降伏時の上段コンクリートひずみ $\epsilon_o$ などに関連づける方法が考えられる。図-1はRCはり実験による実測塑性回転能 $\sigma_p$ と上記 $\epsilon_o$ との関係を示したものである。 $\sigma_p$ の実験値の求め方も同様であるが，ここでは塑性たわみ $\delta_p$ からヒンジ区間の全回転量として $4\delta_p/l-a$ （ここに $l$ :スパン長， $a$ :載荷点間隔）から求められている。

$\sigma_p$ の理論値はひずみ分布の直線性を仮定すれば $\sigma_p = 1/d \times \{ (E_{cu}/\mu_n) - (E_{sy}/1-n_o) \}$ とヒンジ区間にかたり積分すれば求められるが， $E_{cu}$ および塑性ヒンジ長を求める事が問題となる。ここに， $E_{cu}$ はコンクリートの終局ひずみ， $\mu_n, n_o$ は各々破壊時のひずみ比に鉄筋降伏時の中立軸比である。

### §3. 塑性ヒンジ生成限

はり構造において20以上の塑性ヒンジを生成して機構となる場合を考える。塑性ヒンジ生成限は第1限界断面の塑性回転能 $\sigma_p = f(R_c, R_s, l_n, \text{etc.})$ に大きく影響されるがさらに，第2限界断面にヒンジが生成するまでの第1断面の回転量（必要回転角 $\theta_1$ と表す）と $\sigma_p$ との大小によって定まる。すなわち $\theta_1 < \theta_p$ であれば塑性ヒンジが生成するが $\theta_1 > \theta_p$ ならば不完全となる。 $\theta_1$ はスパン連続はり为例にとれば， $P = P_1$ にて第1ヒンジが生成し， $P = P_2$ にて第2ヒンジが生成するものとすれば， $P = P_1$ 以降は両スパンが単純はりとして挙動するものと仮定して支差のためみ角より求めることとできる。すなわち両スパン中央載荷であれば $\theta_1 = (R_2 - R_1)l^2/8K$ ， $K = EI$ は実際の荷重状態から定めればよいが， $K$ を大きく一桁上げ初期曲げ剛性一とすると $\theta_1$ を過小評価し危険側となるため注意を要する。PCはりではRCはりに比して $K$ がかなり大きいため $\theta_1$ が小さくてもヒンジ生成が可能である。図-2はPCはりの実験による $\sigma_p$ と付加荷重増分率 $\beta = P_2/P_1$ との関係を示し， $\theta_1$ を $K = 10^8 \text{ kg/cm}^2$ と仮定して記入する。 $\beta$ の増加につれて $\theta_1$ が増大し $\theta_p$ が低下するため塑性ヒンジ生成度が $\beta$ によって規定される。

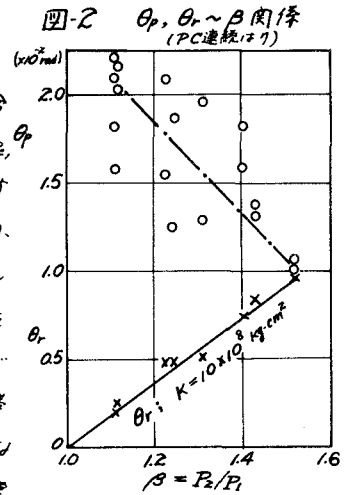
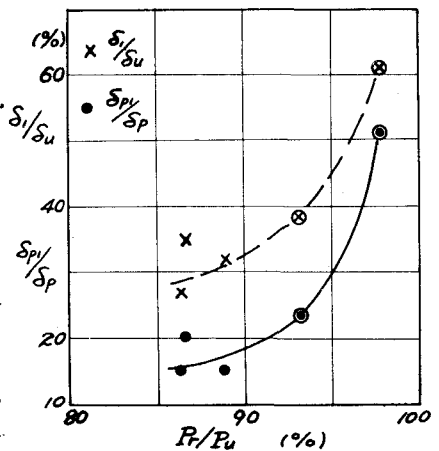


図-3 反覆載荷量と初期たわみ関係

なお以上の論議はすべてはりがせん断破壊しないことを前提としており，実際の設計にはこれを十分考慮せねばならない。



### §4. 塑性ヒンジの安定性

荷重増率から極限荷重に近い大荷重を数回反覆して行う場合に，生成した塑性ヒンジが反覆回数とともに不安定となり破壊にいたることが考えられる。PC単純はりに関する実験結果を荷重上限と終局荷重の比 $P_r/P_u$ と，初期たわみの全たわみに対する比との関係を図-3に示す。PCはりでは $P_r/P_u$ が90程度では10回程度の反覆載荷に対して安定であり， $P_r/P_u > 0.95 P_u$ では不安定になる傾向にある。連続はりでは算定破壊荷重の95%以上の場合でも不安定であった。